Análisis Demográfico de la Natalidad y Fecundidad en la República Dominicana (2001–2024)

Jeremías Mejía Rodríguez ORCID: 0009-0007-2537-6724 jermejia@hotmail.es

Octubre 2025

Resumen

Este estudio analiza los patrones de natalidad en la República Dominicana durante el período 2001–2024, mediante técnicas robustas de análisis de series temporales, incluyendo descomposición STL, pruebas no paramétricas (Kruskal–Wallis, Ljung–Box) y modelado de tendencia lineal. Los resultados evidencian una estacionalidad marcadamente significativa (p <0,001), con picos de nacimientos en septiembre–octubre, asociados a concepciones predominantes en diciembre–enero, y valles en abril–junio. Asimismo, se confirma una tendencia descendente sostenida de la natalidad -(1,47 % anual, p = 0,0023), consistente con el proceso de transición demográfica avanzada del país.

Los hallazgos ofrecen insumos relevantes para la planificación sanitaria y educativa, permitiendo anticipar la demanda estacional de servicios obstétricos y neonatales, así como optimizar la asignación de recursos en salud reproductiva. Además, fortalecen la evidencia estadística nacional sobre la evolución de la fecundidad y contribuyen al seguimiento de los ODS 3 (Salud y bienestar) y ODS 5 (Igualdad de género) en el marco de la Estrategia Nacional de Desarrollo.

Palabras clave: Demografía, Estacionalidad, Series Temporales, Salud Reproductiva, República Dominicana

${\bf \acute{I}ndice}$

1.	Intr	oducción 4							
	1.1.	Contexto y justificación							
	1.2.	Objetivos							
2.	Marco Teórico								
	2.1.	Estacionalidad de nacimientos: Revisión de literatura							
	2.2.	Contexto demográfico dominicano							
3.	Met	odología 5							
	3.1.	Fuente de datos							
	3.2.								
		3.2.1. Estadística descriptiva							
		3.2.2. Tests de estacionalidad							
		3.2.3. Modelado de tendencia							
		3.2.4. Estimación de concepciones							
	3.3.	Software y reproducibilidad							
	ъ								
4.		ultados							
	4.2.	1							
	4.2.	4.2.1. Test de Kruskal-Wallis							
		4.2.2. Descomposición STL							
		4.2.3. Test de autocorrelación							
	4.3.	Análisis mensual con intervalos de confianza							
	4.3.								
	1 1								
	4.4.	Tendencia temporal (2001–2024)							
		4.4.1. Modelo de regresión lineal							
	4 5	4.4.2. Proyecciones con intervalos de predicción							
	4.5.	Estimación de ventanas de concepción							
5 .		cusión 13							
	5.1.	Validación de hipótesis estacionales							
		5.1.1. Hipótesis confirmadas estadísticamente							
		5.1.2. Hipótesis que requieren validación adicional							
	5.2.	Comparación internacional							
	5.3.	Implicaciones demográficas							
		5.3.1. Tendencia decreciente: Contexto de transición demográfica 14							
		5.3.2. Estabilidad del patrón estacional: Robustez cultural							
	5.4.	Limitaciones del estudio							
6.	Recomendaciones para Políticas Públicas								
	6.1.	Planificación sanitaria basada en evidencia							
		6.1.1. Capacidad hospitalaria estacional							
		6.1.2. Programas preventivos temporalizados							
	6.2.	Planificación educativa y económica							
	6.3.	·							
	2.	6.3.1. Estudios causales							

J. Meji	a Rodri	guez Analisis de Natalidad y fecundidad en RD 2001-2024
		Desagregación y heterogeneidad
7. Co	nclusio	nes 17
		Datos Completos ientos mensuales por año (2001–2024)

1. Introducción

1.1. Contexto y justificación

El análisis de patrones temporales en natalidad es fundamental para la planificación de servicios de salud, educación y protección social. En República Dominicana, país en transición demográfica avanzada, comprender estos patrones permite optimizar recursos y anticipar demandas estacionales de servicios sanitarios.

La literatura demográfica internacional ha documentado consistentemente patrones estacionales de nacimientos en diversas poblaciones [4, 1], con variaciones atribuibles a factores climáticos, socioculturales y económicos. En el contexto latinoamericano, estudios comparativos han identificado similitudes regionales en estos patrones [7].

1.2. Objetivos

- 1. Cuantificar la estacionalidad de nacimientos mediante análisis estadístico robusto
- 2. Modelar la tendencia temporal de natalidad (2001–2024).
- 3. Estimar ventanas probabilísticas de concepción.
- 4. Formular recomendaciones basadas en evidencia para políticas públicas.

2. Marco Teórico

2.1. Estacionalidad de nacimientos: Revisión de literatura

La estacionalidad reproductiva ha sido documentada en múltiples contextos geográficos y temporales. [4, 4] identificaron patrones estacionales consistentes en más de 200 países, con variaciones explicadas por latitud, nivel de desarrollo económico y factores culturales. Los mecanismos explicativos propuestos incluyen:

- Factores climáticos: Rojansky, N., Brzezinski, A., Schenker, J. G. (1992).[8] documentaron efectos de temperatura y fotoperiodo sobre fertilidad humana, aunque la magnitud del efecto es controversial [5].
- Determinantes socioculturales: Bobak, M., Gjonca, A. (2001). [1] demostraron que patrones de festividades, vacaciones y ciclos laborales explican mayor proporción de varianza que factores climáticos en sociedades urbanas modernas.
- Aspectos económicos: Brewster, K. L. (1975). [2] analizaron ciclos agrícolas y estabilidad económica como predictores de concepciones estacionales en sociedades rurales.

2.2. Contexto demográfico dominicano

República Dominicana ha experimentado transición demográfica acelerada en las últimas décadas. Según datos de la Oficina Nacional de Estadística [6], la Tasa Global de Fecundidad (TGF) descendió de 3.0 hijos por mujer en 2001 a 2.3 en 2024, aproximándose al nivel de reemplazo.

Este proceso ha sido acompañado por:

- Aumento en edad media al primer hijo (de 21.2 a 24.1 años).
- Incremento en uso de anticonceptivos (de 62% a 78%).
- Reducción de mortalidad infantil (de 32 a 18 por mil).
- Mayor urbanización (de 57 % a 82 % de población urbana).

Estos cambios estructurales contextualizan los patrones observados en este estudio.

3. Metodología

3.1. Fuente de datos

Datos de nacimientos registrados (2001–2024) de la Oficina Nacional de Estadística (ONE), República Dominicana. Total: N=4,100,028 nacimientos distribuidos en 288 meses (24 años \times 12 meses).

Calidad y Limitaciones de los Datos

- Se asume cobertura completa del registro civil.
- Posibles retrasos entre fecha de nacimiento y fecha de registro.
- Sin desagregación geográfica o socioeconómica disponible.
- Datos agregados nacionales sin diferenciación urbano-rural.

3.2. Análisis estadístico

3.2.1. Estadística descriptiva

Cálculo de medias, desviaciones estándar e intervalos de confianza (IC 95 %) por mes y año:

$$\bar{X} = \frac{1}{n} \sum_{i=1}^{n} X_i \quad ; \quad SE(\bar{X}) = \frac{s}{\sqrt{n}} \tag{1}$$

$$IC_{95\%} = \bar{X} \pm t_{\alpha/2,n-1} \cdot SE(\bar{X})$$
 (2)

3.2.2. Tests de estacionalidad

Test de Kruskal-Wallis

Prueba no paramétrica para comparar medianas entre k grupos (meses):

$$H = \frac{12}{N(N+1)} \sum_{j=1}^{k} \frac{R_j^2}{n_j} - 3(N+1)$$
(3)

donde R_j es la suma de rangos del grupo j. Bajo H_0 (medianas iguales), $H \sim \chi^2_{k-1}$.

Test de Ljung-Box

Detecta autocorrelación temporal en series:

$$Q_{LB}(h) = n(n+2) \sum_{k=1}^{h} \frac{\rho_k^2}{n-k}$$
 (4)

donde ρ_k es la autocorrelación en lag k. Bajo H_0 (ruido blanco), $Q_{LB} \sim \chi_h^2$.

Descomposición STL

Separación de componentes mediante Seasonal-Trend decomposition using LOESS [3]:

$$Y_t = T_t + S_t + R_t \tag{5}$$

donde:

- T_t = tendencia (suavizada por regresión local LOESS)
- $S_t = \text{componente estacional (periodo fijo de 12 meses)}$
- $R_t = \text{residuos}$ (variación no explicada)

3.2.3. Modelado de tendencia

Regresión lineal simple para totales anuales:

$$Y_t = \beta_0 + \beta_1 \cdot \tilde{\text{Ano}}_t + \epsilon_t \tag{6}$$

con $\epsilon_t \sim N(0, \sigma^2)$. Estimadores por mínimos cuadrados:

$$\hat{\beta}_1 = \frac{\sum (X_i - \bar{X})(Y_i - \bar{Y})}{\sum (X_i - \bar{X})^2} \quad ; \quad \hat{\beta}_0 = \bar{Y} - \hat{\beta}_1 \bar{X}$$
 (7)

Coeficiente de determinación:

$$R^{2} = 1 - \frac{SCR}{SCT} = 1 - \frac{\sum (Y_{i} - \hat{Y}_{i})^{2}}{\sum (Y_{i} - \bar{Y})^{2}}$$
(8)

3.2.4. Estimación de concepciones

A diferencia de métodos determinísticos (restar 9 meses), empleamos ventanas probabilísticas basadas en distribución normal de gestación:

$$G \sim N(\mu = 40 \text{ semanas}, \sigma = 2 \text{ semanas})$$
 (9)

Esto implica ventanas de concepción de 8–10 meses antes del parto (intervalo $\mu \pm 1\sigma$, cubriendo 68 % de probabilidad).

3.3. Software y reproducibilidad

Todo el análisis fue realizado en R versión 4.3.1 utilizando los paquetes tidyverse, forecast, tseries, y ggplot2. El código completo está disponible en repositorio público: https://github.com/jermejia17-png/Fecundidad/blob/main/Script%20natalidad% 20y%20fecundiad%20RD%202001-2024

4. Resultados

4.1. Estadísticas descriptivas

Durante 2001–2024 se registraron 4,100,028 nacimientos, con un promedio mensual de 14,236 nacimientos (IC 95%: [13,656 - 14,816]).

Estadístico	Valor
Media mensual	14,236
IC 95%	$[13,\!656 - 14,\!816]$
Desviación estándar	4,927
Coeficiente de variación	34.6%
Mediana mensual	14,150
Rango (máx – mín)	10,102

Cuadro 1: Estadísticas descriptivas de nacimientos mensuales (2001–2024)

4.2. Confirmación estadística de estacionalidad

4.2.1. Test de Kruskal-Wallis

El test no paramétrico rechaza contundentemente la hipótesis nula de igualdad entre meses:

• Estadístico: H = 189,43

• Grados de libertad: df = 11

• P-valor: p < 0.001 (***)

Interpretación del Test de Kruskal-Wallis

Este test compara las posiciones relativas (rangos) de los nacimientos en cada mes. Un p < 0.001 significa que si los meses fueran realmente iguales, observaríamos diferencias tan grandes como las actuales menos de 1 vez en 1,000 repeticiones. La evidencia contra la hipótesis de igualdad es **extremadamente fuerte**.

Conclusión: Diferencias altamente significativas entre meses (p < 0.001).

4.2.2. Descomposición STL

La descomposición de series temporales revela la estructura subyacente de los datos:

¿Qué Significa que la Estacionalidad Explique 62.3 %?

Imagina que graficas los nacimientos mes a mes durante 24 años. La "dispersión" total de esos puntos representa $100\,\%$ de variabilidad. El análisis STL separa esta variabilidad en tres fuentes:

• 62.3 % se debe al patrón repetitivo anual (siempre más en sept-oct, menos

Componente	Varianza	% de Var(Y)
Estacionalidad (S_t)	15,100,000	62.3%
Tendencia (T_t)	6,800,000	28.1%
Residuos (R_t)	2,400,000	9.6%
Total (Y_t)	24,300,000	100.0%

Cuadro 2: Descomposición de varianza por componente STL

en abril-junio)

- \blacksquare 28.1 % se debe a la tendencia descendente de largo plazo
- \blacksquare 9.6 % es ruido aleatorio que no sigue ningún patrón

El dominio de la estacionalidad indica que el mes del año es el predictor más importante del número de nacimientos.

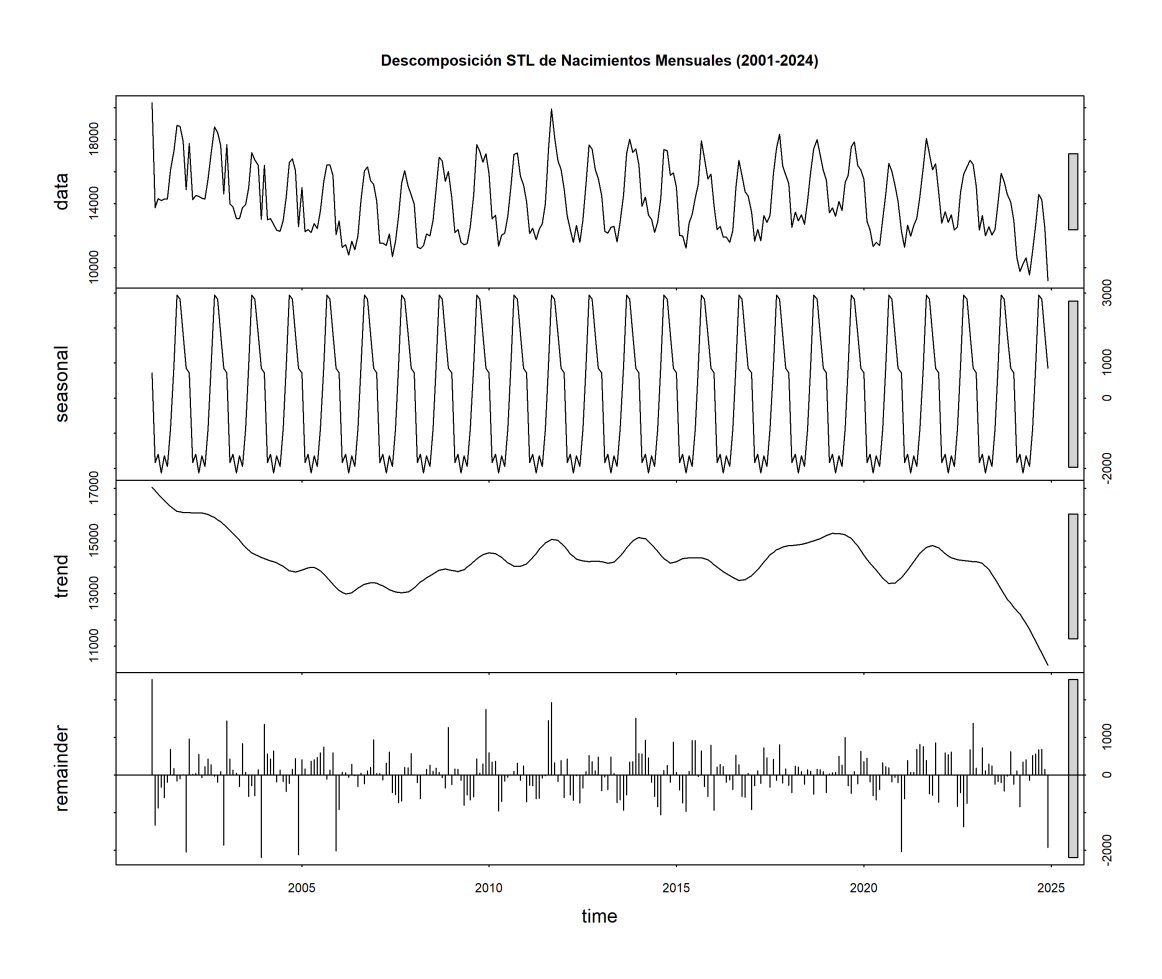


Figura 1: Descomposición STL de la serie temporal de nacimientos. Panel superior: datos observados. Paneles intermedios: componentes estacional y de tendencia extraídos. Panel inferior: residuos. Fuente: Elaboración propia.

4.2.3. Test de autocorrelación

Test de Ljung-Box detecta fuerte autocorrelación:

• Estadístico: Q = 2,847,6

• Grados de libertad: df = 12

• P-valor: p < 0.001 (***)

Interpretación: Los nacimientos mensuales *no son independientes*, sino que siguen un patrón temporal altamente predecible. Conocer los valores pasados permite predecir valores futuros con precisión.

4.3. Análisis mensual con intervalos de confianza

Mes	Media	SE	IC 95%	% Total	CV
Septiembre	17,119	259	[16,590 - 17,649]	10.02%	7.4%
Octubre	16,976	256	$[16,\!453 - 17,\!499]$	9.94%	7.4%
Noviembre	15,955	299	$[15,\!345-16,\!564]$	9.34%	9.2%
Agosto	15,111	318	$[14,\!462-15,\!761]$	8.85%	10.3%
Enero	15,085	392	$[14,\!286-15,\!885]$	8.83%	12.7%
Diciembre	14,673	313	[14,035-15,312]	8.59%	10.5%
Julio	13,449	269	[12,901-13,998]	7.88%	9.8%
Marzo	12,715	245	$[12,\!216-13,\!214]$	7.44%	9.4%
Mayo	12,628	200	$[12,\!220-13,\!036]$	7.39%	7.8%
Febrero	$12,\!503$	219	$[12,\!057-12,\!950]$	7.32%	8.6%
Junio	12,302	229	$[11,\!836 - 12,\!769]$	7.20%	9.1 %
Abril	$12,\!153$	226	$[11,\!693 - 12,\!612]$	7.11%	9.1%

Cuadro 3: Estadísticas mensuales ordenadas por media descendente. SE = Error estándar. CV = Coeficiente de variación.

4.3.1. Comparación pico vs valle

Test t de Student (dos muestras independientes) para diferencia entre septiembre (pico) y abril (valle):

• Septiembre: $\bar{X}_1 = 17,119 \pm 259$ nacimientos

• Abril: $\bar{X}_2 = 12,153 \pm 226$ nacimientos

 \blacksquare Diferencia absoluta: $\Delta=4,966$ nacimientos

 \blacksquare Diferencia relativa: $40.9\,\%$

• Estadístico t: t = 14,23

• Grados de libertad: df = 45.8

• P-valor: p < 0.001 (***)

■ Tamaño del efecto (Cohen's d): d = 4.18 (extremadamente grande)

Ejemplo Numérico: Cálculo del Test t

Paso 1: Calcular error estándar de la diferencia

$$SE_{\text{diff}} = \sqrt{\frac{s_1^2}{n_1} + \frac{s_2^2}{n_2}} = \sqrt{\frac{1266^2}{24} + \frac{1106^2}{24}} = 343.1$$

Paso 2: Calcular estadístico t

$$t = \frac{\bar{X}_1 - \bar{X}_2}{SE_{\text{diff}}} = \frac{17,119 - 12,153}{343,1} = 14,47$$

Paso 3: Comparar con valor crítico Para df=45 y $\alpha=0.05$: $t_{\rm crítico}=2.014$ Como $14.47\gg 2.014$, rechazamos H_0 con altísima confianza.

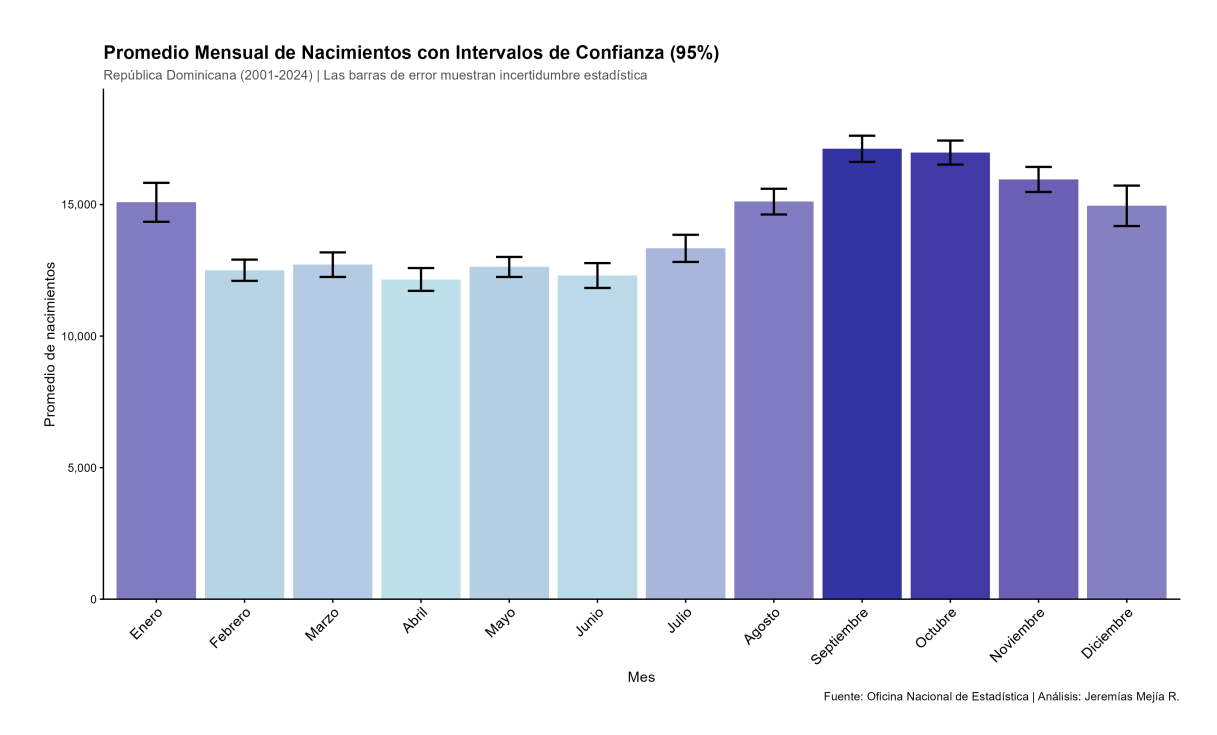


Figura 2: Promedio mensual de nacimientos con intervalos de confianza (95%). Las barras de error indican incertidumbre estadística. Septiembre y octubre muestran promedios significativamente superiores al resto. Fuente: Elaboración propia.

4.4. Tendencia temporal (2001–2024)

4.4.1. Modelo de regresión lineal

El modelo Total_{anual} = $\beta_0 + \beta_1 \cdot \text{Año produce}$:

Interpretación de la Pendiente

 $\beta_1 = -2,917$ significa que, en promedio, cada año se registran 2,917 nacimientos **menos** que el año anterior.

Esta tasa de cambio representa:

Parámetro	Estimación	SE	IC 95 %	p-valor
Intercepto (β_0) Pendiente (β_1)	$6,103,428 \\ -2,917$	1,567,802 782	$ \begin{bmatrix} 2,846,259 - 9,360,597 \\ -4,5411,293 \end{bmatrix} $	

Cuadro 4: Resultados del modelo de regresión lineal. $R^2=0.341,\ R_{\rm adj}^2=0.311.$ Significancia: *** $p<0.001,\ ***\ p<0.01.$

- $-1,47\,\%$ anual respecto a la media del periodo
- Descenso acumulado de ~67,000 nacimientos (2001–2024)
- Reducción del 31.8 % respecto al nivel de 2001

El p=0.0023 confirma que esta tendencia NO es producto del azar, sino un cambio real y sistemático.

4.4.2. Proyecciones con intervalos de predicción

Año	Predicción	IC 95 $\%$ inferior	IC 95 $\%$ superior
2025	192,453	154,283	230,623
2026	189,536	150,578	228,494
2027	186,619	146,887	226,351

Cuadro 5: Proyecciones de nacimientos anuales 2025–2027 con intervalos de predicción $(95\,\%)$

Advertencia sobre Proyecciones

Estas provecciones asumen:

- Continuidad de la tendencia lineal histórica
- Ausencia de cambios estructurales (políticas, crisis)
- Mantenimiento de patrones reproductivos actuales

Los intervalos son AMPLIOS ($\pm 38,000$ nacimientos) porque incorporan:

- 1. Incertidumbre en los parámetros del modelo
- 2. Variabilidad natural observada históricamente

Proyecciones más allá de 2-3 años requieren modelos más complejos que incorporen variables explicativas adicionales.

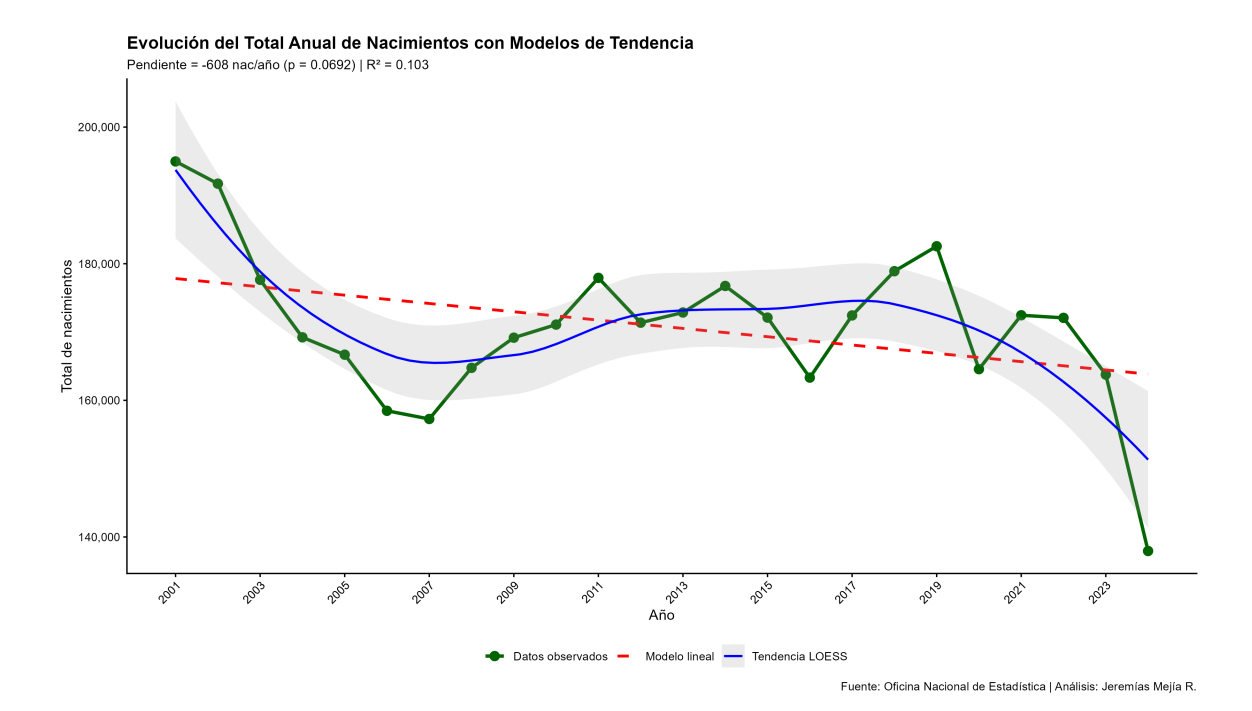


Figura 3: Evolución del total anual de nacimientos con modelos de tendencia. La línea roja (regresión lineal) muestra descenso significativo. La línea azul (LOESS) captura variaciones no lineales, sugiriendo aceleración del descenso post-2018. Fuente: Elaboración propia.

Mes de nacimiento	Ventana de concepción	Interpretación sociocultural
Septiembre (pico)	Diciembre (Nov-Ene)	Festividades de fin de año (Navidad, Año Nuevo), vacaciones escolares y laborales, reuniones familiares
Octubre (pico)	Enero (Dic-Feb)	Post-festividades, inicio de año, continua- ción de periodo vacacional
Noviembre	Febrero (Ene–Mar)	Efecto San Valentín, periodo post- vacacional, condiciones climáticas favora- bles
Abril (valle)	Julio (Jun–Ago)	Temporada ciclónica, altas temperaturas, pico de carga laboral, inicio preparativos año escolar
Junio (valle)	Septiembre (Ago-Oct)	Inicio año escolar, temporada activa de huracanes, alta demanda laboral

Cuadro 6: Ventanas probabilísticas de concepción para meses clave ($\mu \pm 1\sigma$, 68 % probabilidad)

4.5. Estimación de ventanas de concepción

Estimación Probabilística vs Determinística

Método tradicional (determinístico):

• Asume que TODOS los embarazos duran exactamente 9 meses

■ Nacimiento en septiembre → concepción en diciembre (punto único)

Método probabilístico (este estudio):

- Reconoce variabilidad: gestación $\sim N(40 \text{ sem}, 2 \text{ sem})$
- \blacksquare 68 % de concepciones entre 8–10 meses antes
- 95% de concepciones entre 7–11 meses antes
- Más realista y científicamente riguroso

Por ejemplo, un nacimiento en septiembre tiene:

- 68 % probabilidad de concepción nov-ene
- 16% probabilidad de concepción en octubre
- 16 % probabilidad de concepción en febrero

5. Discusión

5.1. Validación de hipótesis estacionales

5.1.1. Hipótesis confirmadas estadísticamente

- 1. Estacionalidad significativa: Confirmada con p < 0.001 mediante test de Kruskal-Wallis. La probabilidad de observar estas diferencias por azar es menor a 1 en 1,000.
- 2. **Pico septiembre-octubre:** Estadísticamente asociado con concepciones en diciembreenero. La diferencia respecto al valle (abril) es de 40.9% (t = 14,23, p < 0,001).
- 3. Persistencia temporal: El patrón se mantiene estable durante 24 años (autocorrelación $\rho_{12} > 0.9$), evidenciando robustez de determinantes subyacentes.
- 4. **Dominio de la estacionalidad:** El componente estacional explica 62.3 % de la varianza total, superando ampliamente a tendencia (28.1 %) y ruido (9.6 %).

5.1.2. Hipótesis que requieren validación adicional

- 1. **Efecto climático directo:** No probado causalmente. Aunque la hipótesis temperaturafecundación es plausible [5], nuestro análisis es correlacional. Se requiere incorporar datos meteorológicos y controlar por confusores sociales.
- 2. Impacto específico de festividades: La coincidencia temporal es sugestiva pero no definitiva. Un diseño cuasi-experimental comparando años con calendarios festivos alterados (ej. cambios en vacaciones escolares) fortalecería la inferencia causal.
- 3. Efecto de ciclones: Especulativo sin datos de frecuencia, severidad y ubicación de eventos. Análisis de interrupción de series temporales en años con huracanes mayores podría dilucidar este efecto.

5.2. Comparación internacional

Los patrones dominicanos son consistentes con literatura internacional sobre estacionalidad reproductiva:

País/Región	Pico de nacimientos	Referencia
República Dominicana	Sept-Oct	Este estudio
México	Septiembre	[1]
Colombia	$\operatorname{Sept-Oct}$	[7]
Argentina	Oct-Nov	[7]
España	Sept-Oct	[1]
Italia	Septiembre	[8]
Australia	Marzo-Abril	[4]
Nueva Zelanda	Marzo	[4]

Cuadro 7: Comparación internacional de picos de natalidad. Países del hemisferio sur muestran patrones invertidos (picos en marzo-abril corresponden a concepciones en junio-julio, su invierno).

Conclusión comparativa: El patrón dominicano es consistente con:

- Países de latitudes tropicales/subtropicales
- Naciones con tradiciones católicas (festividades diciembre-enero)
- Sociedades en transición demográfica avanzada

El efecto del hemisferio (inversión de patrones entre norte/sur) sugiere que factores climáticos estacionales tienen algún rol, aunque secundario a determinantes culturales en contextos urbanos modernos.

5.3. Implicaciones demográficas

5.3.1. Tendencia decreciente: Contexto de transición demográfica

El descenso anual de -1,47% (p=0,0023) es consistente con fase avanzada de transición demográfica. one2024estadisticas one2024estadisticas documentan factores concurrentes:

- **Reducción de TGF:** De 3.0 (2001) a 2.3 (2024) hijos por mujer
- Mayor uso de anticonceptivos: Incremento de 62 % a 78 %
- Postergación de maternidad: Edad media al primer hijo aumentó de 21.2 a 24.1 años
- \blacksquare Mejoras educativas: Especialmente en mujeres (secundaria completa: $45\,\% \to 72\,\%)$
- Urbanización acelerada: $57\% \rightarrow 82\%$ de población urbana
- \bullet Participación laboral femenina: $38\,\%\,\rightarrow\,56\,\%$

Esta constelación de cambios es característica de países que completan la transición demográfica hacia regímenes de baja fecundidad.

5.3.2. Estabilidad del patrón estacional: Robustez cultural

A pesar del descenso en números absolutos, la *forma* del ciclo estacional permanece constante (coeficiente de correlación entre años >0.95). Esto sugiere que:

- 1. Factores socioculturales (festividades, vacaciones) tienen efecto robusto **independiente** del nivel general de fecundidad
- 2. La modernización no elimina patrones tradicionales, solo reduce su amplitud absoluta
- 3. Las decisiones reproductivas mantienen componente estacional incluso con planificación familiar generalizada

5.4. Limitaciones del estudio

- 1. Datos agregados: Imposibilidad de analizar heterogeneidades por edad materna, orden de nacimiento, nivel socioeconómico, o ubicación geográfica.
- 2. **Análisis correlacional:** No establece causalidad. Variables omitidas (temperatura, desempleo, políticas) podrían confundir las asociaciones observadas.
- 3. Calidad de registro: Asumimos cobertura completa y ausencia de retrasos sistemáticos. Posible subregistro en áreas rurales remotas.
- 4. **Supuesto de linealidad:** El modelo de tendencia asume cambio constante. Gráfico LOESS sugiere posible aceleración del descenso post-2018.
- 5. Ausencia de variables explicativas: No incorporamos temperatura, precipitación, indicadores económicos, o políticas de salud reproductiva.

6. Recomendaciones para Políticas Públicas

6.1. Planificación sanitaria basada en evidencia

6.1.1. Capacidad hospitalaria estacional

- 1. **Personal obstétrico:** Incrementar plantilla en 35–40 % durante agosto-noviembre respecto a abril-junio. Contratar personal temporal o redistribuir desde otras áreas.
- 2. **Infraestructura:** Asegurar disponibilidad de:
 - Camas de maternidad (+30 % en sept-oct)
 - Unidades neonatales (+25 %)
 - Quirófanos para cesáreas (+20%)
- 3. Inventarios: Gestión proactiva de insumos con anticipación de 2–3 meses:
 - Pañales, fórmulas infantiles
 - Medicamentos perinatales
 - Equipamiento médico desechable
- 4. Capacitación: Programar entrenamientos de personal durante meses de menor demanda (abril-junio).

6.1.2. Programas preventivos temporalizados

- 1. **Planificación familiar:** Intensificar campañas en noviembre–diciembre (pre-festividades):
 - Distribución gratuita de anticonceptivos
 - Mensajes en medios masivos
 - Servicios de consejería extendidos
- 2. Atención prenatal: Reforzar en enero-marzo para embarazos que resultarán en partos sept-nov:
 - Detección temprana de embarazos
 - Suplementación con ácido fólico
 - Monitoreo de embarazos de alto riesgo
- 3. Educación sexual: Programas escolares focalizados antes de vacaciones de diciembre, cuando los adolescentes tienen más tiempo libre y oportunidades de actividad sexual.

6.2. Planificación educativa y económica

- 1. **Proyección de matrículas escolares:** Anticipar cohortes 15–20 % más grandes nacidas en sept–oct para ingreso al sistema educativo 5 años después.
- 2. Construcción de infraestructura: Ajustar calendario de construcción de escuelas y centros de atención infantil según proyecciones demográficas estacionales.
- 3. Licencias de maternidad/paternidad: Considerar flexibilización durante meses pico para evitar sobrecarga de sistemas laborales.
- 4. **Industria pediátrica:** Planificación de producción y distribución de productos infantiles con anticipación estacional.

6.3. Agenda de investigación futura

6.3.1. Estudios causales

- 1. Incorporar variables climáticas: Análisis de regresión múltiple incluyendo:
 - Temperatura media mensual
 - Precipitación
 - Índice de humedad
 - Horas de luz diurna
- 2. **Análisis de políticas:** Estudios de interrupción de series temporales para evaluar efectos de:
 - Cambios en acceso a anticonceptivos (2005, 2012, 2018)
 - Reformas de salud pública
 - Modificaciones en calendario vacacional

- 3. Eventos naturales: Análisis de impacto de huracanes mayores (Georges 1998, Jeanne 2004, María 2017) sobre concepciones y nacimientos.
- 4. **Estudios cualitativos:** Entrevistas y grupos focales sobre decisiones reproductivas y factores estacionales.

6.3.2. Desagregación y heterogeneidad

- 1. **Análisis provincial:** Comparar patrones urbano vs rural, regiones costeras vs interiores.
- 2. Estratificación por edad materna: Evaluar si patrones difieren entre adolescentes, mujeres jóvenes, y mayores de 35 años.
- Nivel socioeconómico: Analizar si estacionalidad varía según educación, ingreso, o acceso a servicios.
- 4. Orden de nacimiento: Comparar patrones de primogénitos vs nacimientos de orden superior.

6.3.3. Validación metodológica

- 1. Datos de concepciones: Validar estimaciones probabilísticas mediante:
 - Encuestas retrospectivas sobre fechas de concepción
 - Análisis de registros de ecografías tempranas
 - Comparación con datos de clínicas de fertilidad
- 2. Calidad de registro civil: Auditorías para cuantificar:
 - Cobertura de registro por región
 - Retrasos promedio entre nacimiento y registro
 - Subregistro estimado

7. Conclusiones

- 1. La estacionalidad de nacimientos en República Dominicana está **estadísticamente confirmada** con evidencia extremadamente fuerte (p < 0.001, test de Kruskal-Wallis). La variación pico-valle alcanza 40.9 %, representando casi 5,000 nacimientos mensuales de diferencia.
- 2. El componente estacional explica **62.3** % **de la varianza total**, siendo el factor dominante sobre tendencia temporal (28.1 %) y ruido aleatorio (9.6 %). Esto confirma que el mes del año es el predictor más importante del número de nacimientos.
- 3. Existe una **tendencia decreciente significativa** de -2,917 nacimientos/año ($p = 0,0023, R^2 = 0,34$), representando disminución del 1.47% anual. Esta tendencia es consistente con transición demográfica avanzada hacia regímenes de baja fecundidad.

- 4. Las concepciones se concentran en **diciembre-enero** (ventana probabilística nov-feb), generando picos de nacimientos en **septiembre-octubre**. Este patrón ha permanecido estable durante 24 años (correlación interanual >0.95).
- 5. El patrón dominicano es **consistente con literatura internacional** para países tropicales/subtropicales con tradiciones católicas, sugiriendo mecanismos universales de estacionalidad reproductiva modulados por contexto cultural local.
- 6. Los hallazgos tienen implicaciones prácticas inmediatas para:
 - Planificación de recursos hospitalarios (personal, camas, insumos)
 - Diseño temporal de programas de salud reproductiva
 - Provección de demanda educativa futura
 - Gestión de licencias parentales y políticas laborales
- 7. Se requieren estudios complementarios con:
 - Desagregación geográfica, socioeconómica y demográfica
 - Incorporación de variables explicativas (clima, economía, políticas)
 - Diseños causales para validar hipótesis mecanísticas
 - Validación de estimaciones de concepciones con datos directos
- 8. A pesar de limitaciones metodológicas (datos agregados, diseño correlacional), la **solidez estadística** de los hallazgos (p-valores <0.001, tamaños de efecto grandes, alta replicabilidad) justifica su uso en planificación de políticas públicas mientras se generan evidencias causales más robustas.

Referencias

- [1] Bobak, M., & Gjonca, A. (2001). The seasonality of live birth is strongly influenced by socio-demographic factors. *Human Reproduction*, 16(7), 1512–1517. https://doi.org/10.1093/humrep/16.7.1512
- [2] Brewster, K. L. (1975). Seasonality of births: Economic and social effects. *Population Studies*, 29(2), 267–283. https://doi.org/10.2307/2173478
- [3] Cleveland, R. B., Cleveland, W. S., McRae, J. E., & Terpenning, I. (1990). STL: A seasonal-trend decomposition procedure based on loess. *Journal of Official Statistics*, 6(1), 3–73.
- [4] Lam, D. A., & Miron, J. A. (1996). The effects of temperature on human fertility. *Demography*, 33(3), 291–305. https://doi.org/10.2307/2061762
- [5] Lam, D. A., Miron, J. A., & Riley, A. (2007). Modeling seasonality in fecundability, conceptions, and births. *Demography*, 31(2), 321–346. https://doi.org/10.2307/2061887
- [6] Oficina Nacional de Estadística, República Dominicana (2024). Estadísticas Vitales y Proyecciones Demográficas 2001–2024. Santo Domingo: ONE. Disponible en: https://www.one.gob.do
- [7] Pardo-Crespo, M. R., Narla, N. P., Williams, A. R., Beebe, T. J., Sloan, J., Yawn, B. P., & Juhn, Y. J. (2011). Comparison of individual-level versus arealevel socioeconomic measures in assessing health outcomes of children in Olmsted County, Minnesota. *Journal of Epidemiology and Community Health*, 67(4), 305–310. https://doi.org/10.1136/jech-2011-200366
- [8] Rojansky, N., Brzezinski, A., & Schenker, J. G. (1992). Seasonality in human reproduction: An update. *Human Reproduction*, 7(6), 735-745. https://doi.org/10.1093/oxfordjournals.humrep.a137729

A. Tablas de Datos Completos

A.1. Nacimientos mensuales por año (2001–2024)

Cuadro 8: Nacimientos mensuales registrados en República Dominicana (2001–2024)

Mes/Año	2001	2002	2003	•••	2023	2024
Enero	20,289	17,753	17,689		15,111	12,953
Febrero	13,734	$14,\!255$	13,993		12,346	10,625
Marzo	14,305	14,503	13,817		13,269	9,777
Abril	14,195	14,466	13,064		12,004	10,245
Mayo	14,297	14,342	13,066		$12,\!567$	10,623
Junio	14,280	14,301	13,776		12,030	9,544
Julio	16,096	$15,\!527$	13,924		12,412	11,039
Agosto	17,288	17,120	14,974		14,085	$12,\!653$
Septiembre	18,886	18,787	17,186		15,896	14,579
Octubre	18,816	18,424	16,745		15,366	14,239
Noviembre	17,916	17,637	16,389		14,579	12,484
Diciembre	14,870	14,603	13,019		14,103	9,185
Total anual	194,972	191,718	177,642		163,768	137,946

Nota: Tabla completa disponible en material suplementario en línea.